



Be stars observations *with VEGA/CHARA*

*Omar Delaa : PhD, Observatoire de la Côte
d'Azur*

Philippe Stee : Observatoire de la Côte d'azur

Juan Zorec : Institut d'Astrophysique de Paris

VEGA consortium



Observatoire
de la CÔTE d'AZUR



VEGA / CHARA in the French Astronomical revue "Ciel Et Espace"!

REPORTAGE

Chara, l'interféromètre télécommandé

Au sommet du mont Wilson, en Californie, l'interféromètre Chara a atteint sa vitesse de croisière. Il est aujourd'hui le plus puissant à observer les étoiles à distance, depuis la Provence.

Philippe Hénarjais



Là Lune gibbeuse étincelle comme un cristal de quartz. Au-dessus de nos têtes, la voûte étoilée, parfaitement transparente, renforce cette sensation. Au jour, vers la Méditerranée, une masse de cumulus argentés s'illumine légèrement d'éclairs. Le roulement du tonnerre, étouffé par la distance, ne résonne que longtemps après. Mais ici, à Grasse, en cette nuit du 5 novembre, le ciel est pur. D'excellentes conditions pour observer les astres. Hélas, en Californie, ce n'est pas tout à fait la même chose. Denis Mourard, astronome à l'observatoire de la Côte

d'Azur, le sait déjà. Après un coup d'œil distrait sur la voûte céleste, il affiche une mine contrariée. Il est presque 2 h 30 et, alors qu'en Provence la nuit est tombée depuis 9 heures, le Soleil vient juste de se coucher au mont Wilson, sur les hauteurs de Los Angeles. En principe, c'est le moment où s'ouvrent les coupoles de l'observatoire dans lequel Edwin Hubble a découvert l'expansion de l'Univers. Mais, en retournant dans la douce chaleur de la salle de contrôle, Denis Mourard ne se berce guère d'illusions. Sur son écran d'ordinateur, quelques mots en anglais l'attendent dans



Photo: C. Hénarjais

Centre névralgique de Chara : le bâtiment des lignes à retard. Sur des rails de 44 m de long, les faisceaux optiques en provenance des six télescopes de 1 m de diamètre sont égalisés pour pouvoir être réunis en un même foyer, où se trouvent les instruments scientifiques.

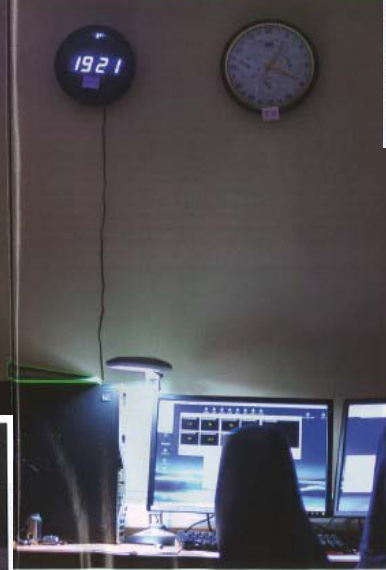


Photo: C. Hénarjais



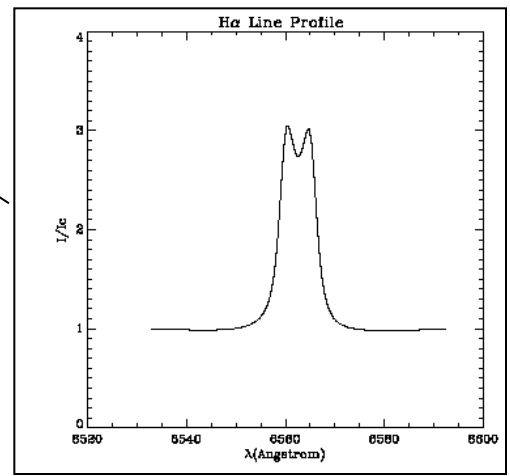
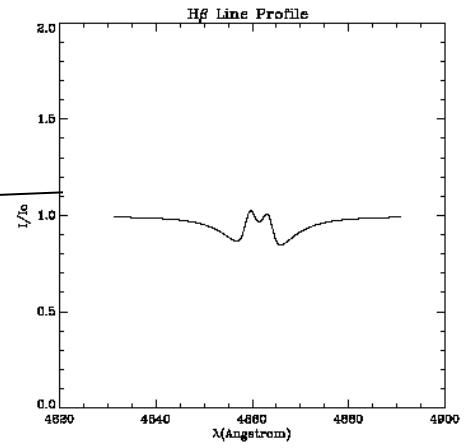
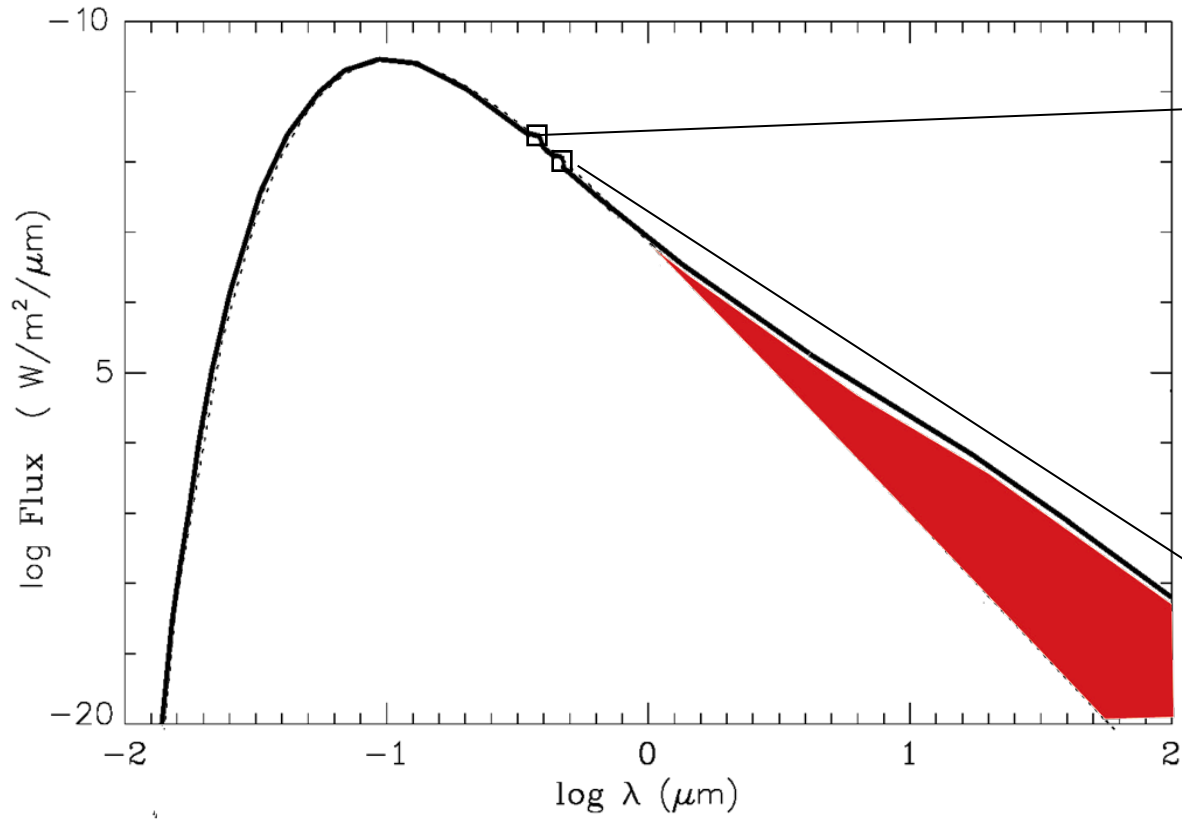
LESIA



Observatoire de la CÔTE d'AZUR



Presence of a circumstellar environment around Be stars





Problematic around Be Stars

What is the Origin of the formation of disk around Be stars ?

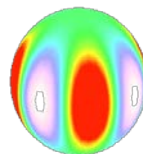
Five physical mechanisms possible :



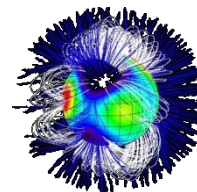
Rotation



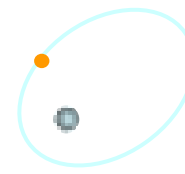
Stellar winds



pulsations



Magnetism



Binarity

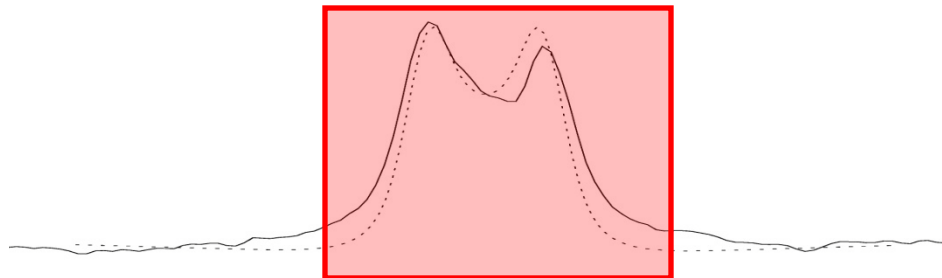
*Constrain the Geometry and kinematic of the disk
by spectro - interferometry*



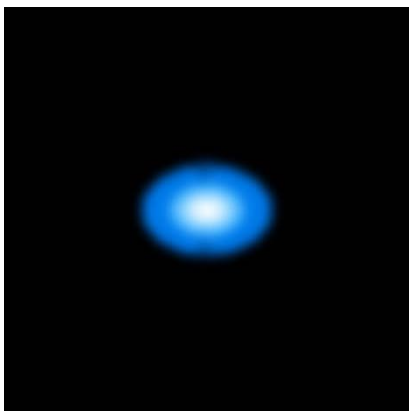
Spectro interferometry (1)

(Doppler effect)

- The geometry study



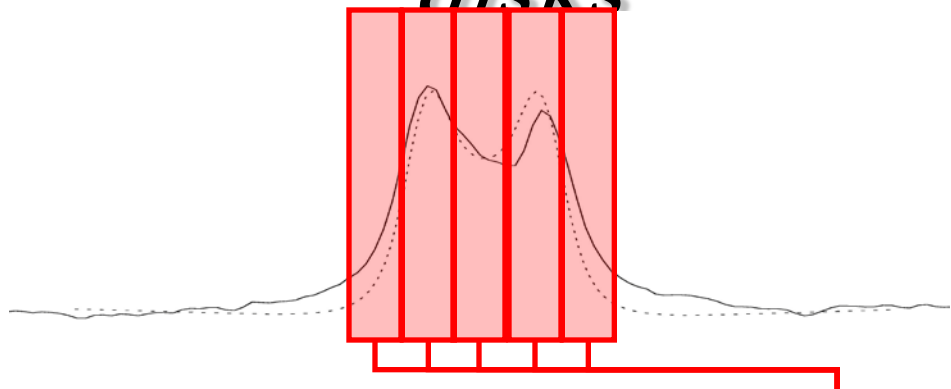
In the whole line





Spectro-interferometric study of Be stars

disks



(Doppler Effect)

In the whole line

Geometry

Narrow spectral bandwidth across the line

Variation of the visibility modulus and phase as a function of wavelength

↓

Geometry + Kinematics

↓

Expansion/rotation, rotational law, inhomogeneities...



Disk Geometry and kinematic of three Be Stars

Stee & Meilland (2009) , VLTI / MIDI

Equatorial Disk			
	α Arae	κ CMa	Achernar
Stellar Rotation	97 % V_e	52 % V_e	$\sim V_e$
Disk rotation (β parameter)	0.48 (quasi Keplerian)	0.3 (sub Keplerian)	no disk detected in 2000

Fast Rotation

Fast Rotation + other physical processes (Binarity ?)

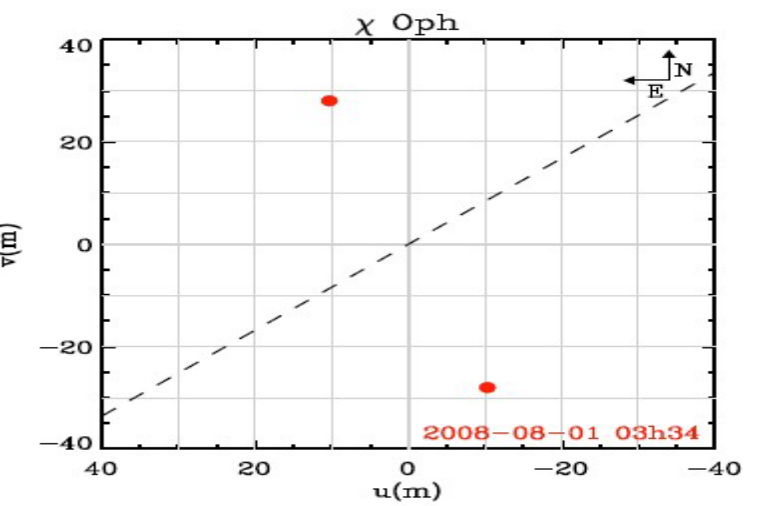
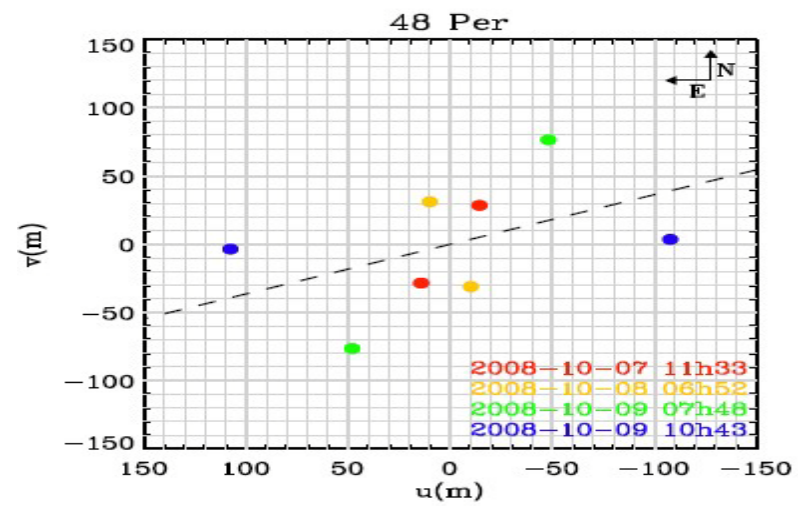
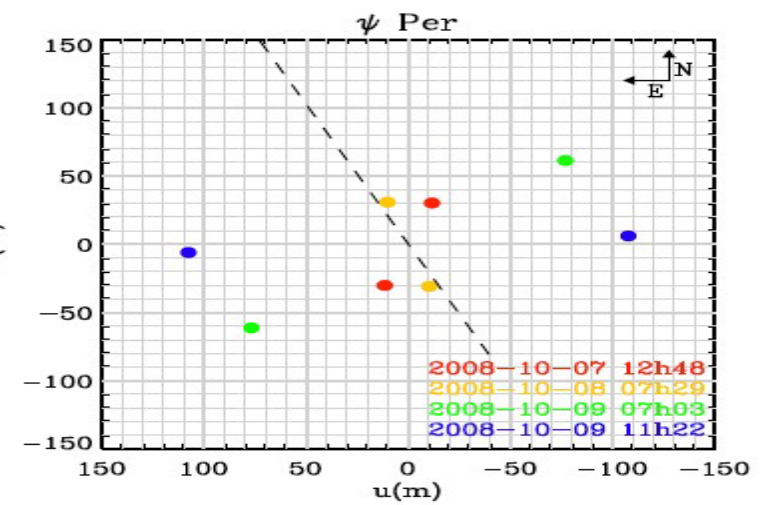
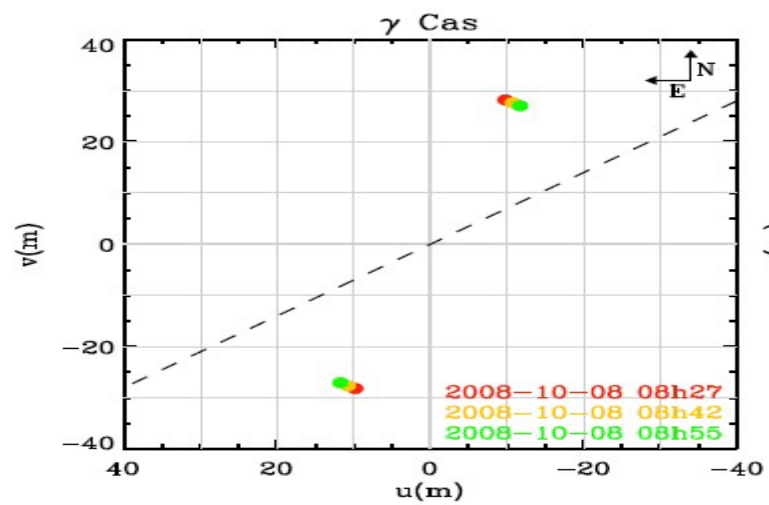
Fast Rotation for the formation and binarity for dissipation of the disk

$H\alpha$ line more intense than $B\gamma$ line \rightarrow Study in the visible Wavelength



VEGA/CHARA Targets

ψ Per	$Vsini = 297 \text{ km/s}$	$B5Ve$	$d=214 \text{ pc}$
γ Cas	$Vsini = 243 \text{ km/s}$	$B0 IVe$	$d=187 \text{ pc}$
48 Per	$Vsini = 198 \text{ km/s}$	$B3 Ve$	$d=169 \text{ pc}$
χ Oph	$Vsini = 139 \text{ km/s}$	$B1.5 Ve$	$d=150 \text{ pc}$



----- : *Disk orientation*



LESIA



Observatoire de la CÔTE d'AZUR



Model

- **Star + Circumstellar disk only in rotation**
 - *Modeling of Visibility and phases as function of wavelength*
- **Output parameter :**
- **Stellar Inclination, Stellar radii, \varnothing_{env} in line, \varnothing_{env} in continuum, P.A.**

Kinematic of the disk :

$$V_{\phi} = V_{rot} \cdot \left(\frac{r}{R_{\star}} \right)^{\beta}$$

r = Distance to the center of the

V_{rot} = Stellar rotational velocity

R_{\star} = Stellar radius

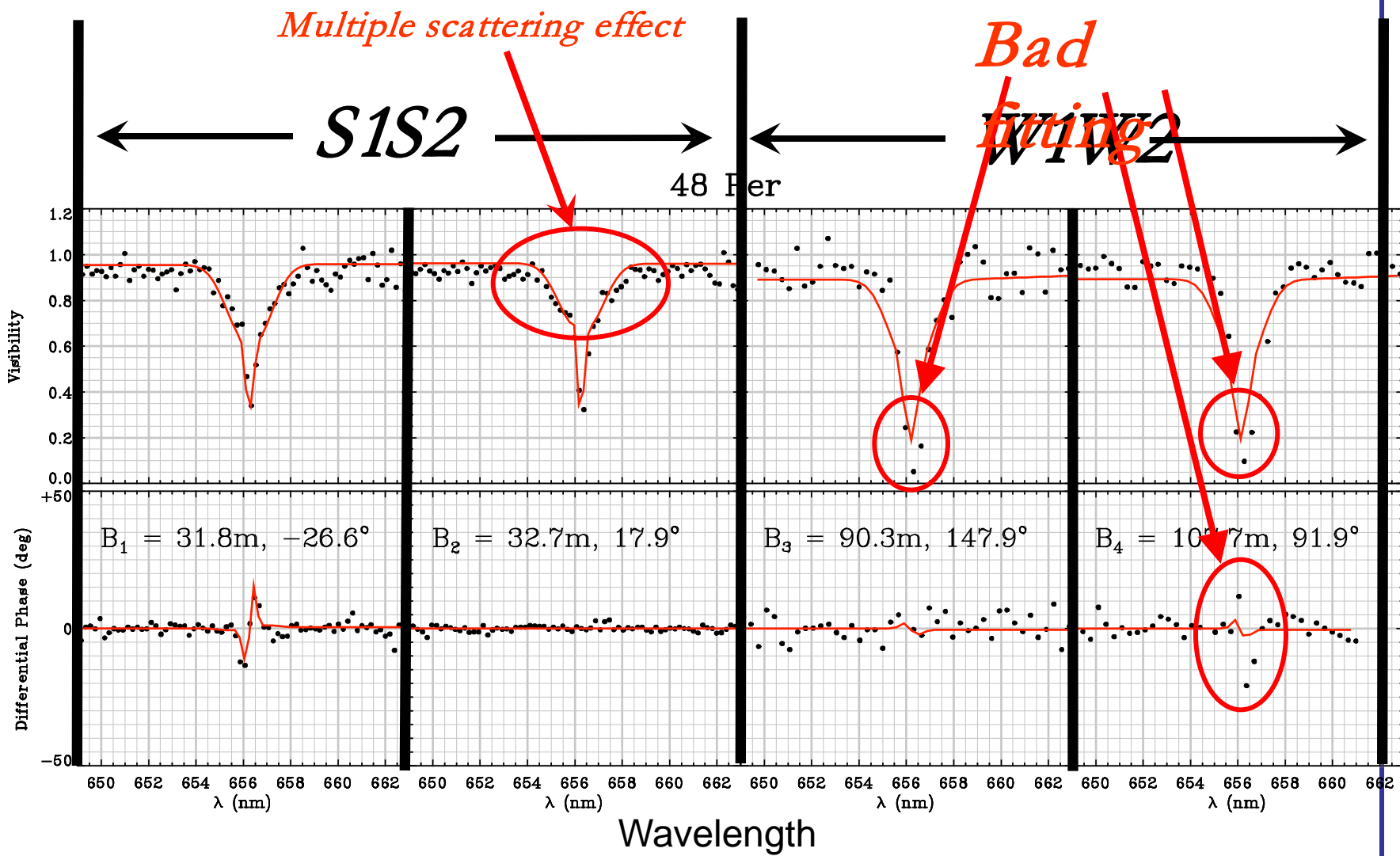
β = Free parameter



48 Per results around H α line

V

ϕ



LESIA



Observatoire de la CÔTE d'AZUR



48 Per parameters around H α line

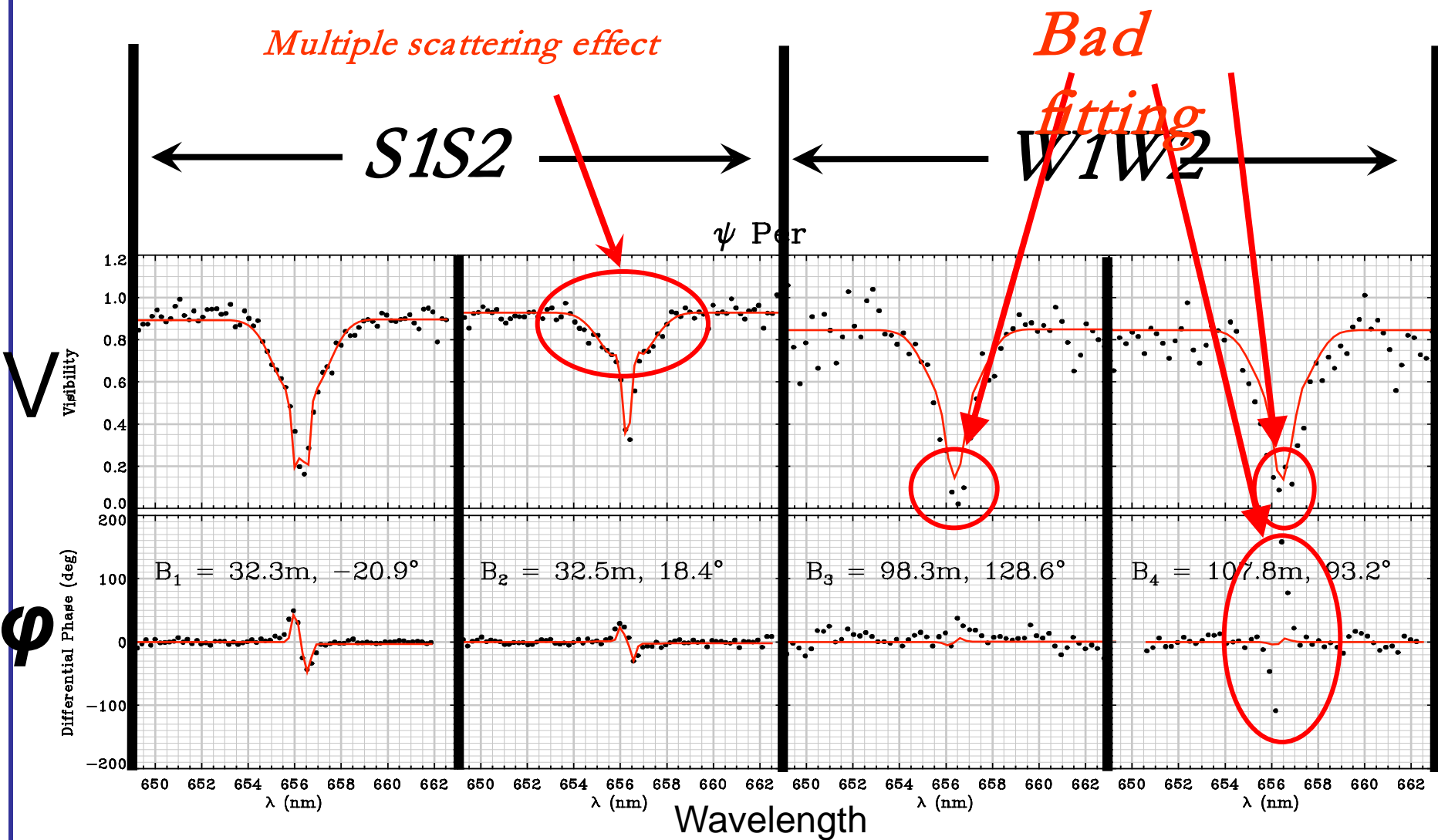
<i>inclination (deg)</i>	<i>R star (R_{solar})</i>	<i>Ø_{env} in line (R_{stellar})</i>	<i>Ø_{env} in continuum (R_{star})</i>	<i>P.A. (degree)</i>	<i>% of emission scattered in the line</i>
30 ± 5	4.8 ± 0.5	10 ± 2	?	125 ± 5	40 ± 5

<i>Stellar rotational velocity (km/s)</i>	<i>Exponent β of the rotational velocity law</i>
440 ± 50 (Critical velocity)	-0.5 ± 0.1

Disk in Keplerian rotation



ψ Per results around H α line



LESIA



Observatoire de la CÔTE d'AZUR



ψ Per results around H α line

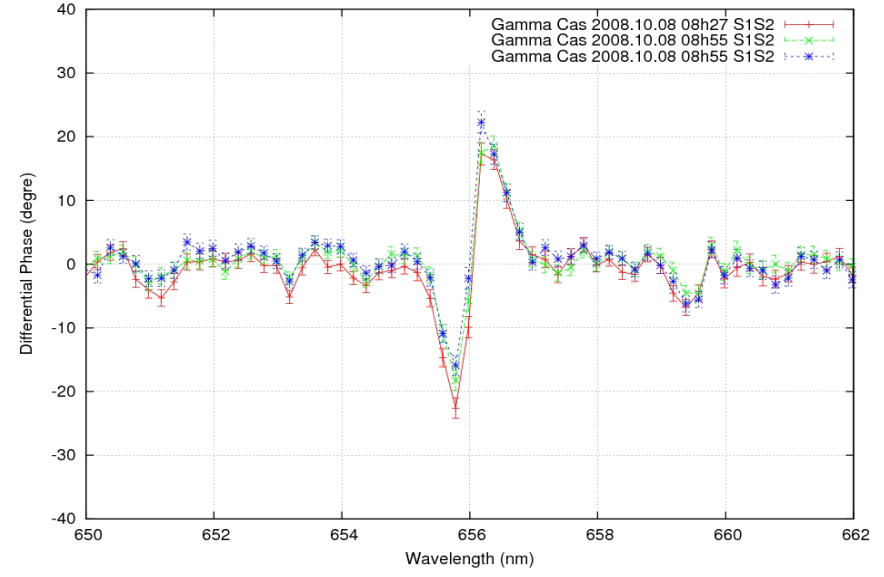
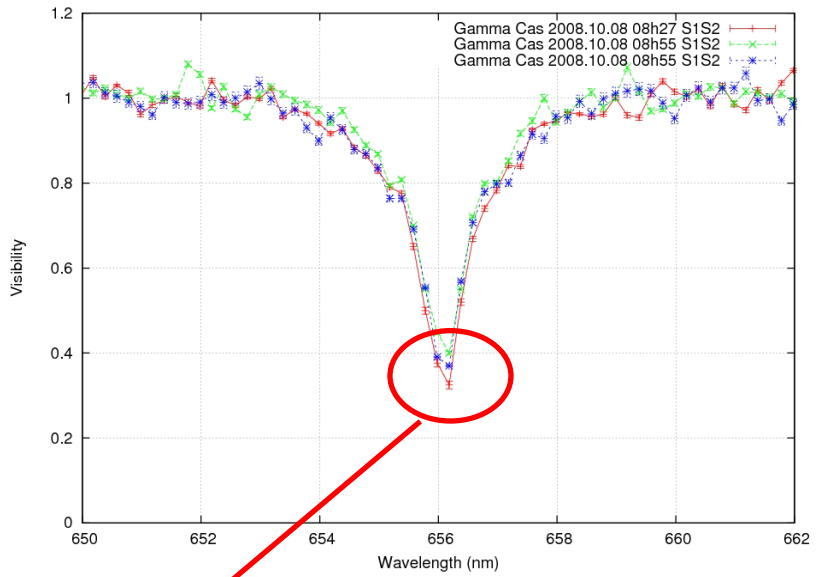
<i>inclination</i> <i>n (deg)</i>	<i>R star</i> <i>(R_{solar})</i>	\varnothing_{env} <i>in</i> <i>line</i> <i>(R_{stellar})</i>	\varnothing_{env} <i>in</i> <i>continuu</i> <i>m (R_{star})</i>	<i>P.A.</i> <i>(degree</i> <i>)</i>	<i>% of</i> <i>emission</i> <i>scattered in</i> <i>the line</i>
78 ± 10	5.9 ± 0.59	20 ± 7.5	10 ± 10	108 ± 1	40 ± 5
<i>Stellar rotational velocity</i> <i>(km/s)</i>			<i>exponent β of the rotational</i> <i>velocity law</i>		
400 ± 50 <i>(Critical Velocity)</i>			-0.37 ± 0.05		

Disk doesn't appear in Keplerian rotation

Limitation of the model



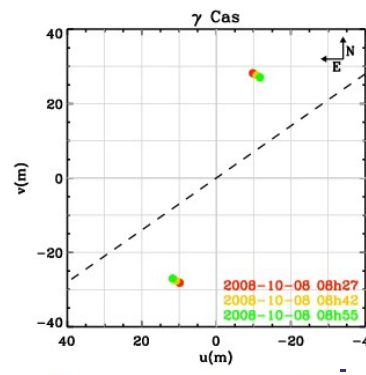
γ Cas results around H α line



$$V_l = \frac{V_{\star l} F_{\star l} + V_{el} F_{el}}{F_{tot}}$$

Baseline S1S2 $\rightarrow V_{\star l} = 1$

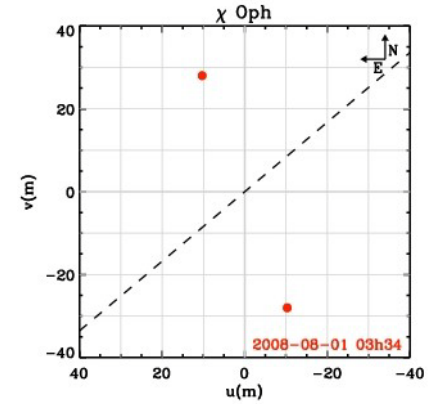
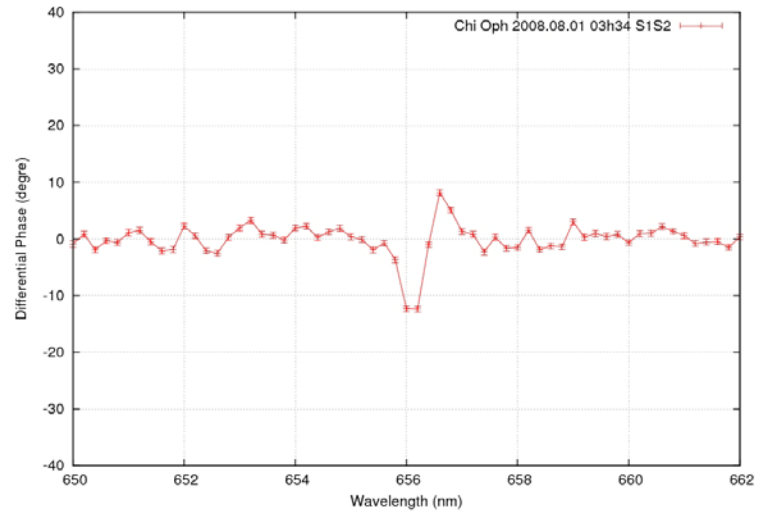
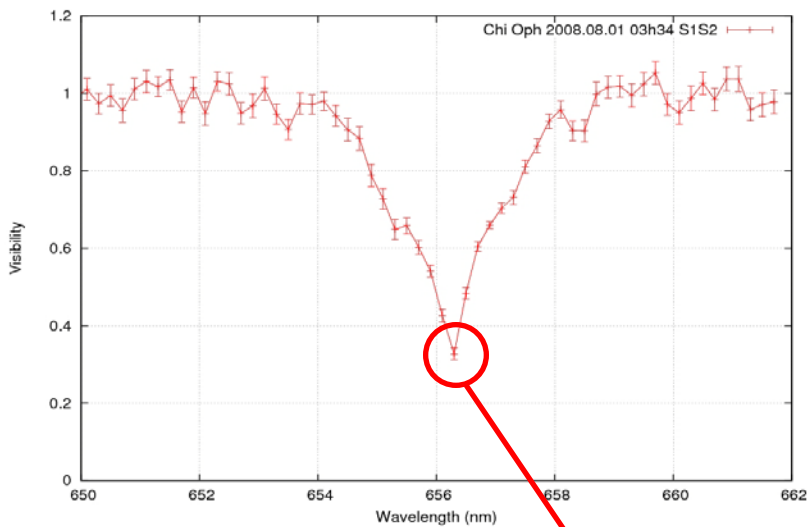
With $F_{tot} = F_{\star l} + F_{el} = 0.1 + 0.9$



Star	HA	base (m)	$V_{measured}$	V_{env}	Envelope diameter (mas)
γ Cas	00h51m50	29.85	0.35 ± 0.030	0.19 ± 0.028	4.47 ± 0.13
γ Cas	01h05m51	29.67	0.38 ± 0.033	0.22 ± 0.032	4.36 ± 0.15
γ Cas	01h19m16	29.48	0.39 ± 0.027	0.23 ± 0.029	4.34 ± 0.13



χ Oph results around H α line



Star	HA	base (m)	$V_{measured}$	V_{env}	Envelope diameter (mas)
χ Oph	00h48m14	23.64	0.31 ± 0.049	0.26 ± 0.048	5.25 ± 0.26



LESIA



Observatoire de la CÔTE d'AZUR



Conclusions on Be stars study

- *48 Per :*
 - *Fast rotation (critical velocity)*
 - *Disk in Keplerian rotation*
 - *Consistent with α Arae study*
- *Psi Per*
 - *Fast rotation (critical velocity)*
 - *Disk doesn't appear in Keplerian rotation (Not consistent with the previous results on 48 Per and α Arae)*
 - *Limitation of the model*
- *χ oph and γ Cas : poor uv coverage plan*



Perspective on Be stars

- *Complete the uv coverage plan for χ Oph and γ Cas (Data remain to be reduced)*
- *Precise modeling with SIMECA code*
- *Long baselines observation of γ Cas in the continuum :*
 - *Photospheric size of γ Cas*
 - *Contribution of the envelope*

**First interferometric CHARA/VEGA observations of the Be stars
48 Per, χ Oph, γ Cas, and ψ Per**

O. Delaa¹ et al.

¹ Lab. H. Fizeau, CNRS UMR 6525, Univ. de Nice-Sophia Antipolis, Obs. de la Côte d'Azur, Avenue Copernic, 06130 Grasse, France



Observations of interacting massive stars with CHARA/VEGA

Massive binary systems

- *upsilon Sgr*, binary system harboring an hydrogen deficient star (HdB star)
- *beta Lyr*: binary system with current mass-exchange

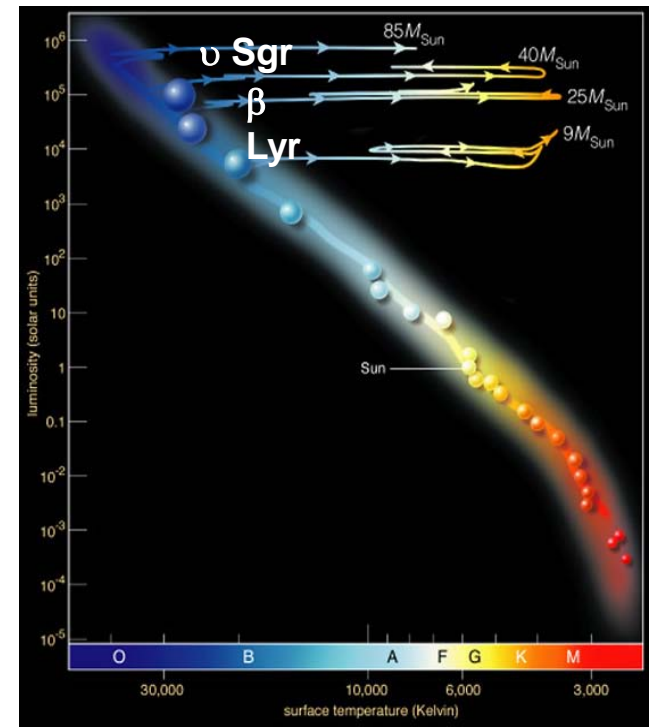
since 2008

VEGA/CHARA interferometric observations

2T, B = 34

mains goals

- Shape and size of the $H\alpha$ emitting region ?
- Morphology of the binary system?



ν Sgr: O. Chesneau, D. Bonneau, P. Koubsky, D. Mourard , P. Stee
β Lyrae: D. Bonneau , O. Chesneau, D. Mourard , P. Stee



LESIA



Observatoire de la CÔTE d'AZUR



2008 CHARA/VEGA observations of β Lyrae

Base S1S2 MR 656 – 487 nm Four orbital phases

Preliminary results

➤ *In the continuum β Lyr is unresolved at any orbital phase*

➤ *H α : significantly resolved at any Φ_{orb} , photocenter shift correlated with Φ_{orb}*

➤ *H β : resolved at some Φ_{orb} , suspicious of photocenter shifts*

➤ *HeI (6678 Å) : marginally resolved at any Φ_{orb} , no clear photocenter shift detected*

“Spectro-interferometric observations of interacting massive stars with VEGA/CHARA”

D. Bonneau, O. Chesneau, D. Mourard & P. Stee,

Presentation at the conference "Binaries - Keys to comprehension of the Universe, Brno, 8-12

June 2009, to be published in ASP Conference Series.

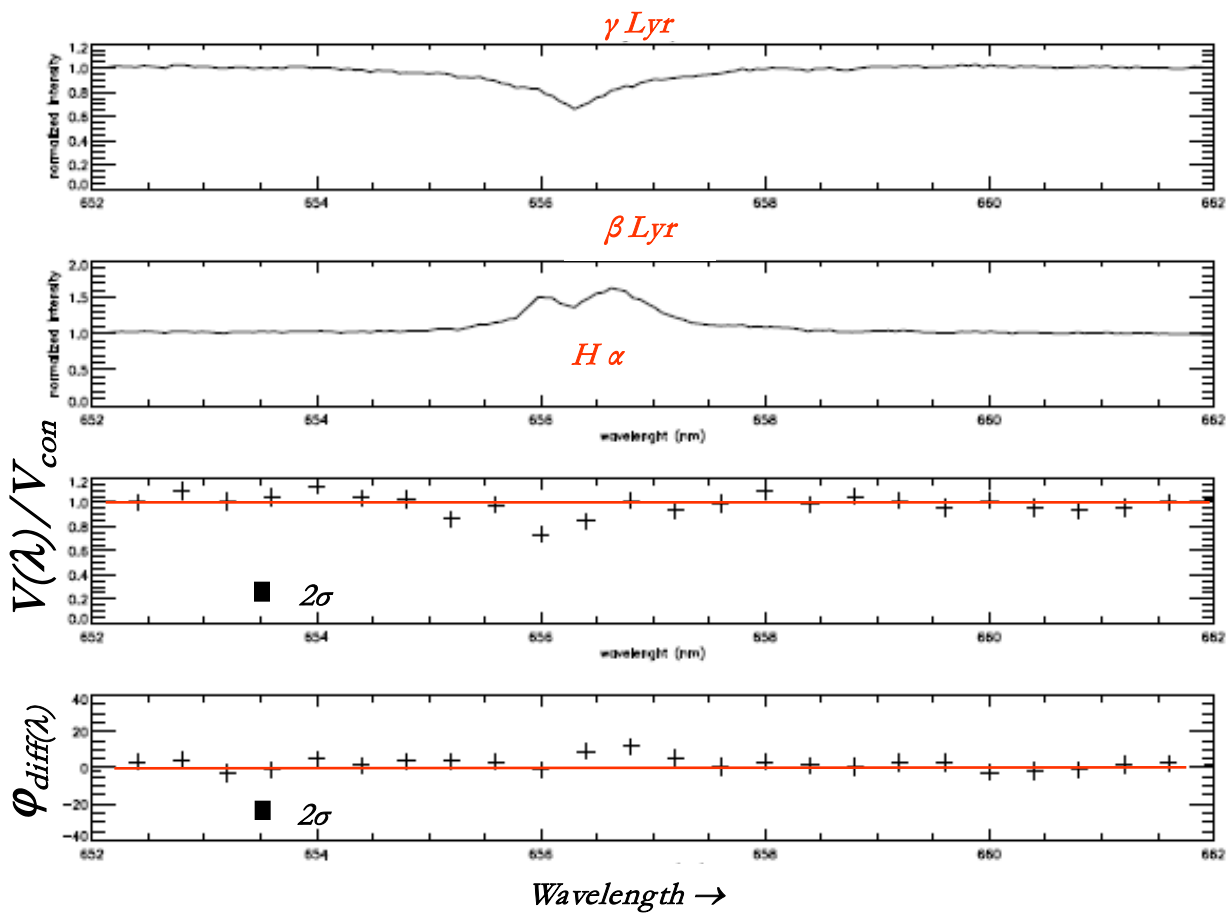
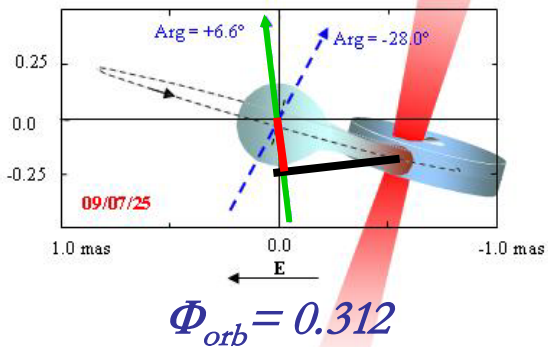


Differential Spectral analysis of β Lyrae observations

2009 07 25

➤ baseline S1S2

- ✓ TU 04h 14 mn
- ✓ $B_p = 34.08$ m
- ✓ $Arg = 6.6^\circ$



- source slightly resolved in $H\alpha$ with $V_{line} / V_{cont} = 0.75 \pm 0.08$
- slight differential phase offset in $H\alpha$ with $\phi_{diff} = +15^\circ \pm 5^\circ$

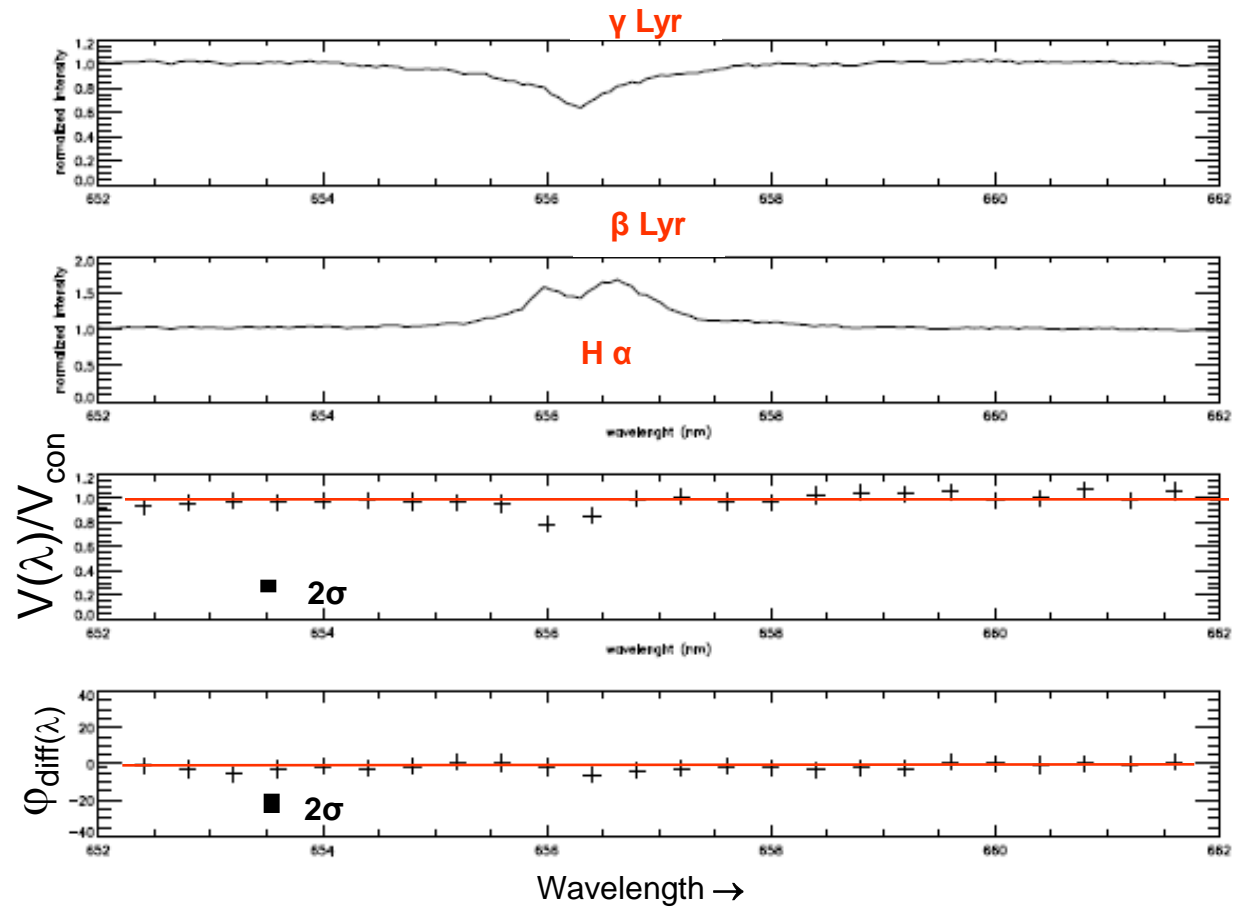
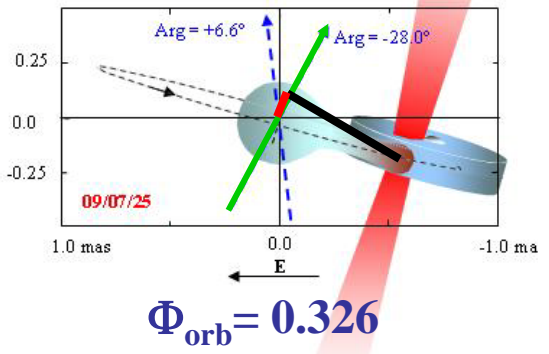


Differential Spectral analysis of β Lyrae observations

2009 07 25

➤ baseline S1S2

- ✓ TU 08h 48 mn
- ✓ $B_p = 33.51$ m
- ✓ Arg = -28.0°



- source slightly resolved in $H\alpha$ with $V_{\text{line}} / V_{\text{cont}} = 0.80 \pm 0.05$
- marginal differential phase offset in $H\alpha$ with $\phi_{\text{diff}} = -5^\circ \pm 5^\circ$



LESIA



Observatoire de la CÔTE d'AZUR



Differential Spectral analysis of β Lyrae observations

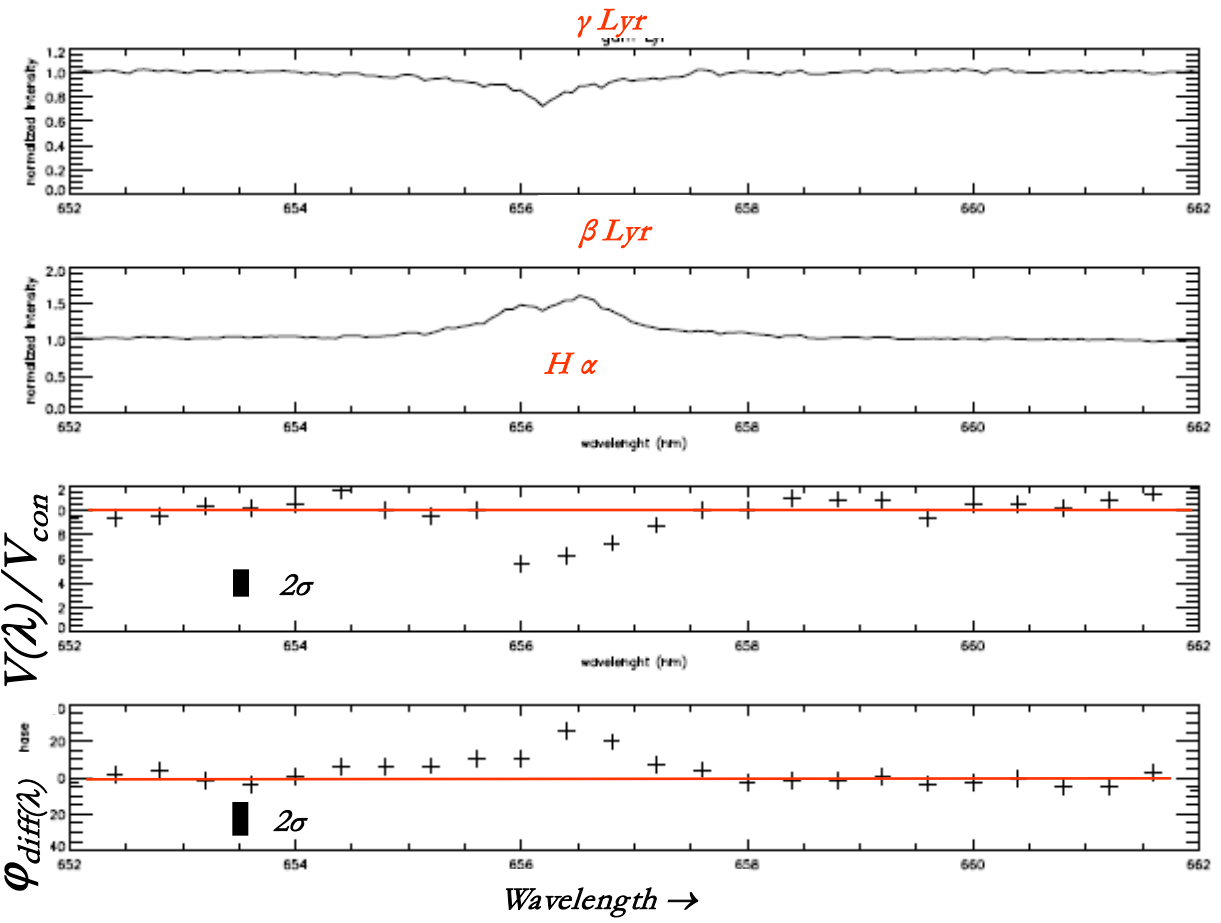
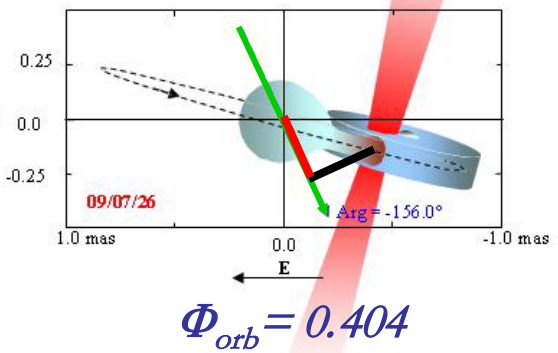
2009 07 26

➤ baseline E1E2

✓ TU 09h 09 mn

✓ $B_p = 58.62m$

✓ $Arg = -156.0^\circ$



➤ source resolved in $H\alpha$ with $V_{line} / V_{cont} = 0.60 \pm 0.12$

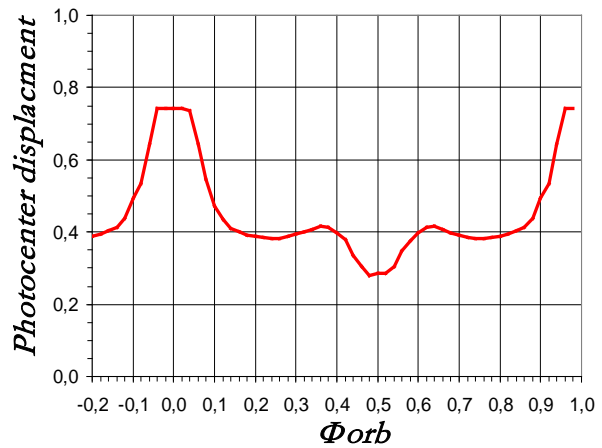
➤ differential phase offset in $H\alpha$ with $\phi_{diff} = +25 \pm 9^\circ$



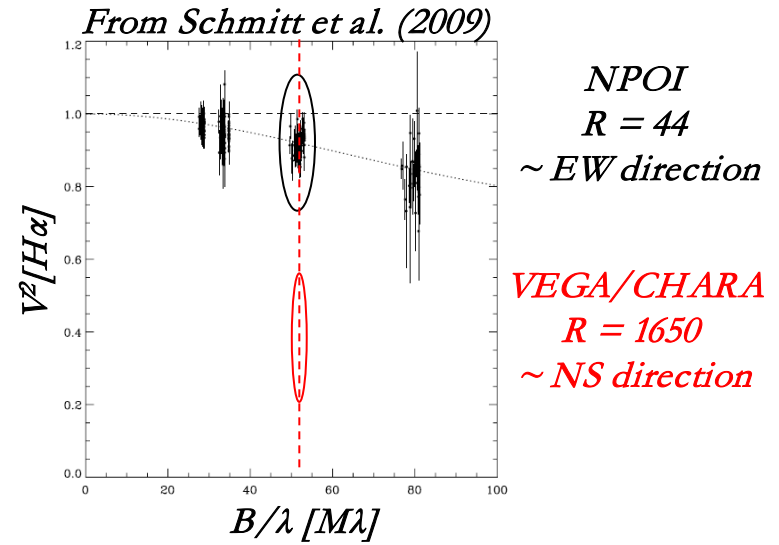


Analysis of the β Lyrae data

Model of the photocenter position in V-band computed from Ak et al. (2007)



Comparison with the work done with NPOI



Paper in preparation Bonneau et al



LESIA



Observatoire de la CÔTE d'AZUR

Los Angeles from Mount Wilson Observatory

THANK YOU

David Jurasevich